

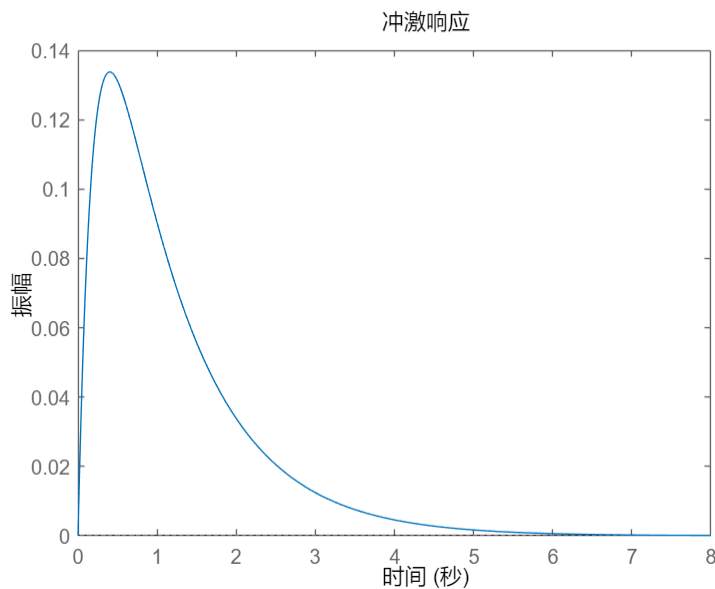
```
clear;  
clc;
```

一、(20 分)一个连续线性时不变系统的状态空间模型为：↵

$$\begin{aligned}x'(t) &= \begin{bmatrix} 0 & 1 \\ -5 & -6 \end{bmatrix} x(t) + \begin{bmatrix} 0 \\ 1 \end{bmatrix} u(t) \leftarrow \\ y(t) &= [1 \quad 0] x(t) \leftarrow\end{aligned}$$

- 1) 绘制系统的单位脉冲响应，判断稳定性，说明理由；↵
- 2) 绘制系统的零极点模型，判断稳定性，说明理由；↵
- 3) 基于 R-H 准则判断系统稳定性。↵

```
%%%%%%%%%(1)%%%%%%%%%  
t=0:0.01:8;  
A=[0 1;-5 -6];  
B=[0;1];  
C=[1 0];  
D=0;  
sys0=ss(A,B,C,D);  
figure(1);  
impz(sys0,t);
```



稳定性分析：最终单位脉冲响应趋于 0，故而稳定。

```
%%%%%%%%%(2)%%%%%%%%
```

```
[z,p,k]=ss2zp(A,B,C,D)%求极零点
```

```
z =
```

```
空的 0×1 double 列向量
```

```
p = 2×1
```

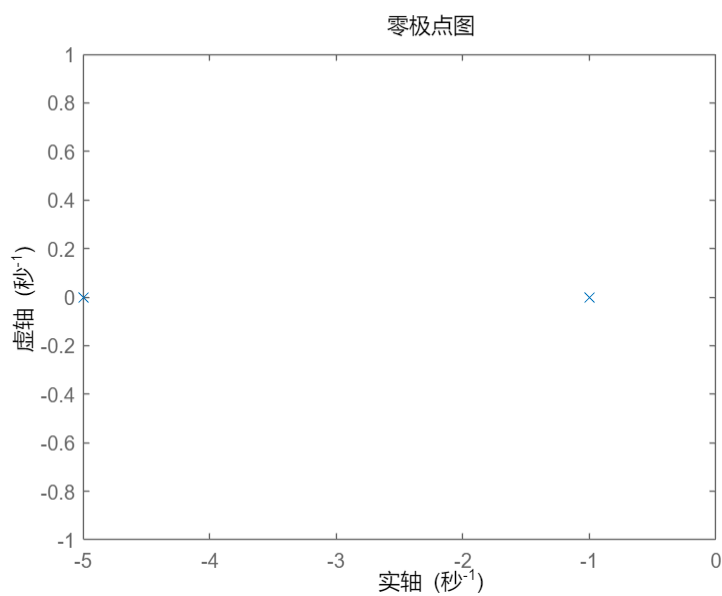
```
    -1
```

```
    -5
```

```
k = 1
```

```
figure(2);
```

```
pzmap(sys0);
```



稳定性分析：极点全部位于左半平面，故而稳定。

```
%%%%%%%%%(3)%%%%%%%%
```

```
[a,b]=ss2tf(A,B,C,D)
```

```
a = 1×3
```

```
    0    0    1
```

```
b = 1×3
```

```
    1    6    5
```

```
q1=b;
```

```
n1=length(q1);
```

```
R1=zeros(3,3);
```

```
R1(1,1)=q1(1);R1(2,1)=q1(2);R1(1,2)=q1(3);
```

```
for i=3:n1
```

```
    for j=1:n1-1
```

```

        R1(i,j)=(R1(i-1,1)*R1(i-2,j+1)-R1(i-2,1)*R1(i-1,j+1))/R1(i-1,1);
    end
end
disp(R1);

```

```

1      5      0
6      0      0
5      0      0

```

稳定性分析：罗斯-霍维斯数列的第一列全为正数，故系统稳定。

```

clear;
clc;

```

二、(20分)离散系统的方程为 $H(s) = \frac{2s+1}{s^2+5s+6}$ ，初始状态 $y(0) = 2, y'(0) = 1$ ，输入信号为 $x(t) = e^{-2t}\varepsilon(t-3), 0 \leq t \leq 6$ 。↵

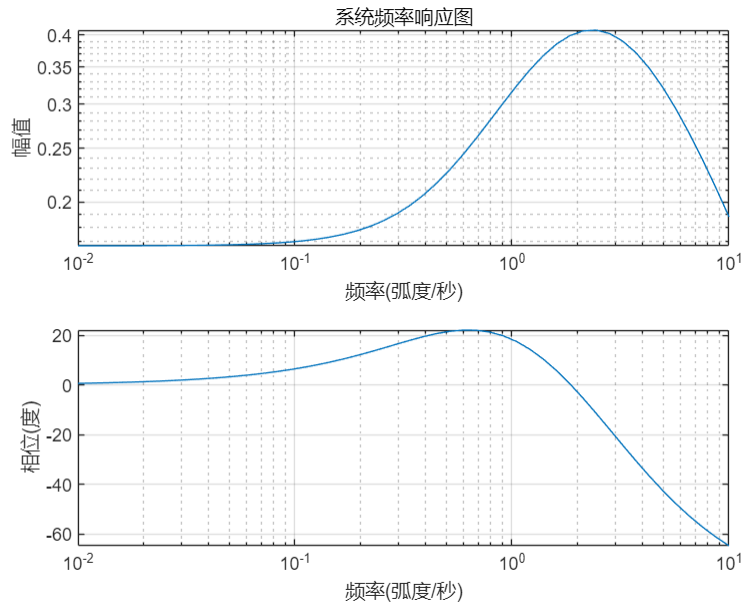
- 1) 绘制系统在 $[10^{-2}, 10]$ 频率范围的频响；↵
- 2) 根据系统方程给出的对应关系计算出状态变量的初始条件，并显示结果；↵
- 3) 在一个 Figure 中利用 subplot 绘制系统的零输入响应、零状态响应；↵
- 4) 用两种方式计算系统的全响应，并在一个 figure 中采用不同的标识绘制出两种方法的结果，并检查结果是否相等。↵

(是连续系统，不是离散系统)

```

%%%%%%%%%(1)%%%%%%%%%
num=[2 1];
den=[1 5 6];
w = logspace(-2, 1);% 创建对数刻度的频率向量
figure(3);
freqs(num, den, w);
title("系统频率响应图");

```



```

%%%%%%%%%(2)%%%%%%%%%
[a, b, c, d] = tf2ss(num, den); % 将传递函数模型转换为状态空间模型
sys0 = ss(a, b, c, d);
R = inv([1, -a(1,1), -a(1,2); c(1), c(2), 0; 0, c(1), c(2)]) * [0, 1, 2]';
disp(R);

```

```

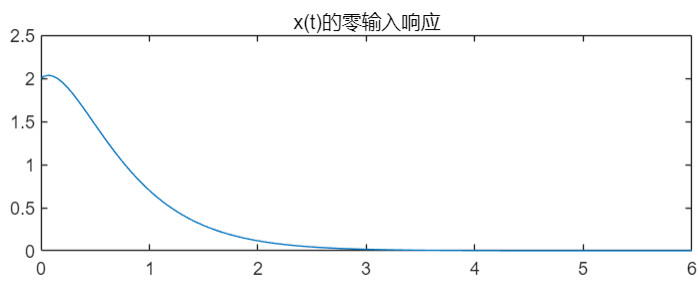
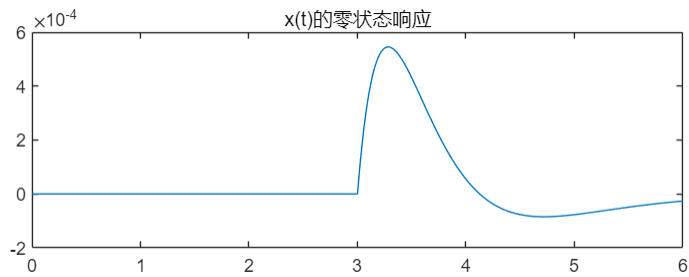
-0.3333
1.6667
-1.3333

```

```

%%%%%%%%%(3)%%%%%%%%%
t = 0:0.01:6; % 定义时间向量
sys = tf(num, den);
x = exp(-2*t).*stepfun(t,3); % 定义输入信号
% 计算并绘制零输入响应
y0 = initial(sys0, R(2:3), t); % 使用 initial 函数计算零输入响应
% 计算并绘制零状态响应
y1 = lsim(sys, x, t);
figure(4);
subplot(2,1,1);
plot(t, y1);
title('x(t)的零状态响应');
subplot(2,1,2);
plot(t, y0);
title('x(t)的零输入响应');

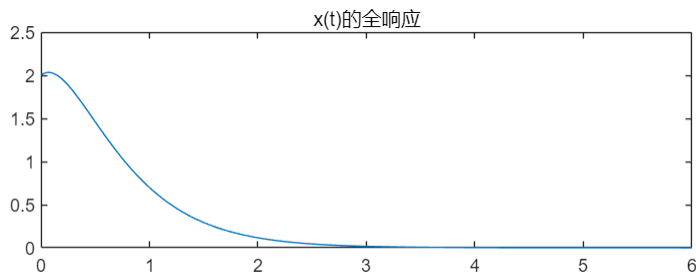
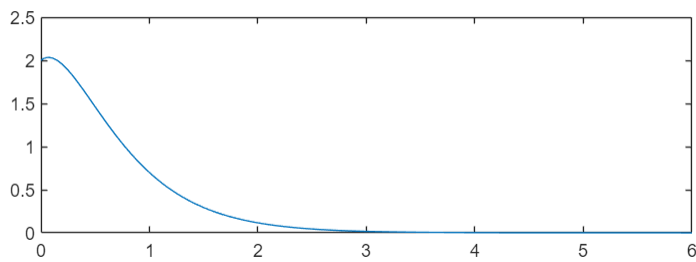
```



```

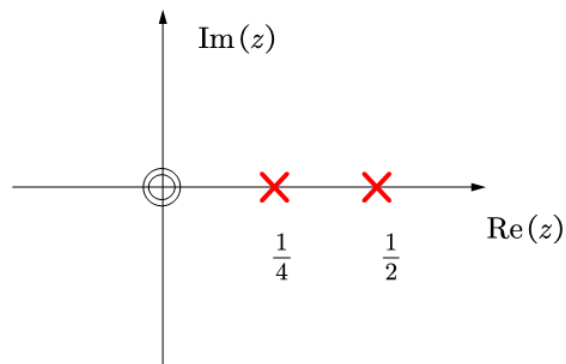
%%%%%%%%%(4)%%%%%%%%%
% 方法 1: 全响应 = 零输入 + 零状态
yy = y0 + y1;
% 方法 2: 直接求全响应
xx0=R(2:3);
yyy=lsim(sys0,x,t,xx0);%全响应
figure(5);
subplot(2,1,1);
plot(t, yy);
title('x(t)的全响应(方法 1)');
subplot(2,1,2);
plot(t, yyy);
title('x(t)的全响应(方法 1)');

```



```
clear;
clc;
```

三、 (20 分)离散时间系统的零极点图如下图所示，该零极点模型的增益 $k = 2$



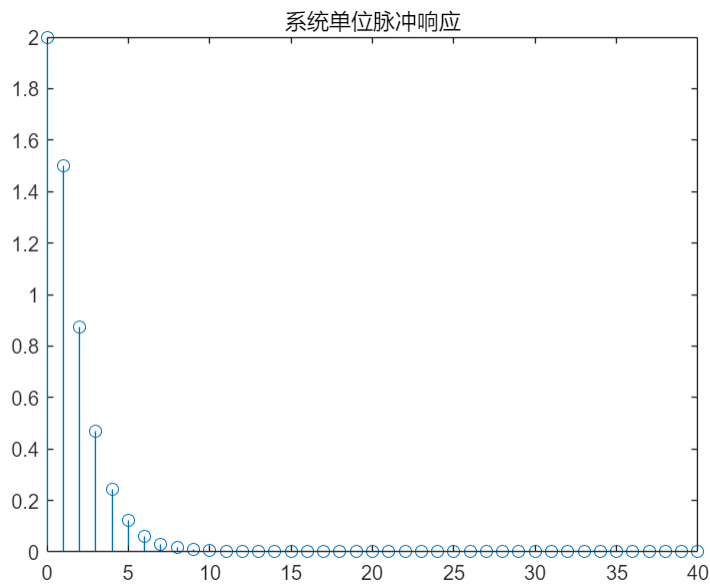
- 1) 求系统的单位脉冲响应和系统的频谱响应；
- 2) 系统输入信号为 $e(n) = \text{sinc}(0.05(n - 50)) \cdot \cos(200n)$, $0 \leq n \leq 100$ ，求系统的零状态响应。在一个 figure 中列出 2 个子图，一个子图同时绘制输入信号和零状态响应的时域波形(采用不同颜色进行区分)，另外一个子图同时绘制输入信号和零状态响应的幅度谱(采用不同颜色进行区分)。

```
%%%%%%%%%(1)%%%%%%%%%
n1=0:1:40;
k=2;
```

```

z=[0 ;0];
p=[1/4; 1/2];
[num,den]=zp2tf(z,p,k);
figure(7);
y1=dimpulse(num,den,41);
stem(n1,y1);
title('系统单位脉冲响应');

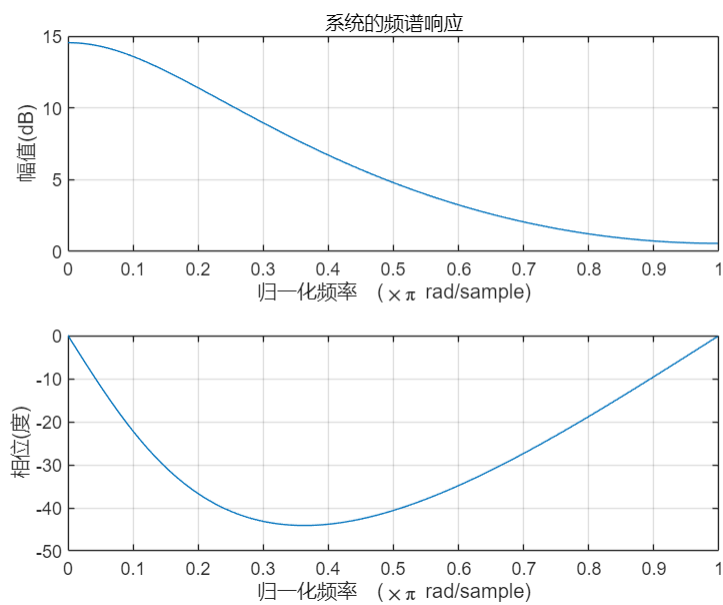
```



```

figure(8);
freqz(num, den);
title('系统的频谱响应');

```



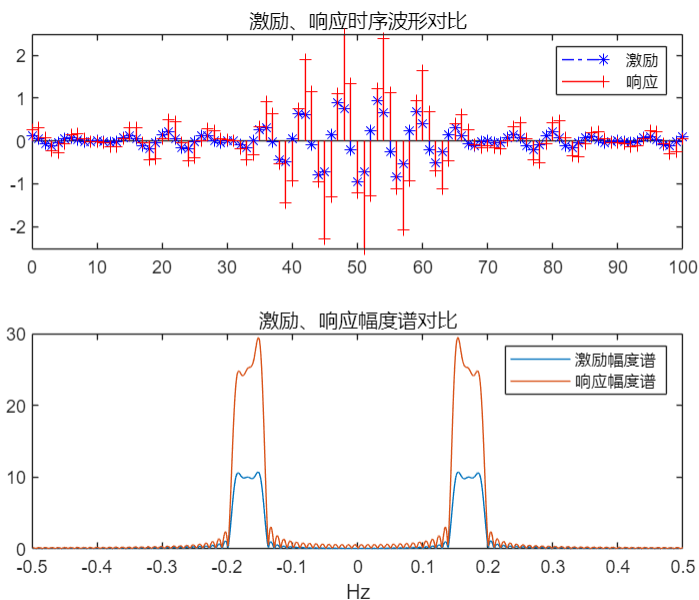
```

%%%%%%%%%(2)%%%%%%%%
n=0:1:100;
e=sinc(0.05*(n-50)+eps).*cos(200*n);
y2=filter(num,den,e);
N = 1024;
fs = 1;% 定义采样频率
w = -fs/2 + fs/N:fs/N:fs/2;
E = fftshift(fft(e, N));% 对时域信号进行快速傅里叶变换 (FFT)
Y2=fftshift(fft(y2, N));

figure(9);
subplot(2,1,1);
stem(n,e,'*b-.');
hold on;
stem(n,y2,'-r+');
hold off;
legend("激励","响应");
title('激励、响应时序波形对比');

subplot(2,1,2);
plot(w,abs(E));
hold on;
plot(w,abs(Y2));
hold off;
xlabel("Hz");
legend("激励幅度谱","响应幅度谱");
title('激励、响应幅度谱对比');

```

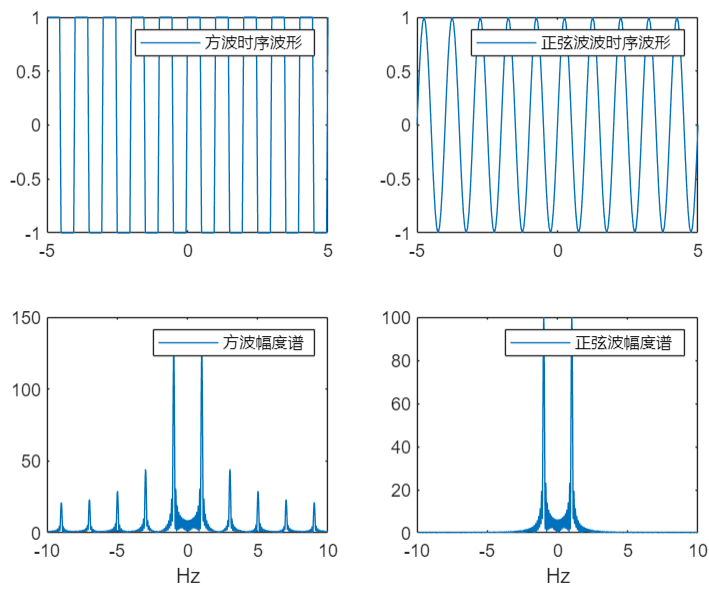



```
clear;  
clc;
```

四、(20 分)在 $[-5, 5]$ 时间范围内,以 0.05 为采样间隔,得到频率均为 1Hz 的方波信号(square 函数)和正弦信号(sin 函数):

- 1) 绘制出这两个信号的时域波形,同时绘制出两个信号的幅度谱。在一个 figure 中利用 subplot 绘制出以上 4 个子图,建议幅度谱横坐标设置为 Hz;
- 2) 描述方波信号和正弦信号各自幅度谱的特点和差异。

```
%%%%%%%%%(1)%%%%%%%%  
fs = 20;% 定义采样频率  
t=-5:1/fs:5;  
N = 1024;  
w = -fs/2 + fs/N:fs/N:fs/2;  
figure();  
subplot(2,2,1);  
x1 = square(2*pi*1*t);  
plot(t,x1);  
legend("方波时序波形");  
  
subplot(2,2,2);  
x2 = sin(2*pi*1*t);  
plot(t,x2);  
legend("正弦波波时序波形");  
  
subplot(2,2,3);  
X1 = fftshift(fft(x1, N));% 对时域信号进行快速傅里叶变换 (FFT)  
plot(w,abs(X1));  
xlabel("Hz");  
legend("方波幅度谱");  
  
subplot(2,2,4);  
X2 = fftshift(fft(x2, N));  
plot(w,abs(X2));  
xlabel("Hz");  
legend("正弦波幅度谱");
```



```
%%%%%%%%%(2)%%%%%%%%%
```

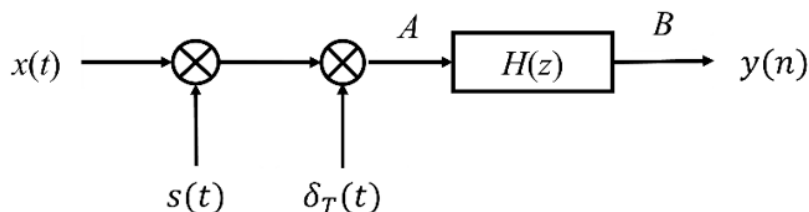
特点：正弦信号的幅度谱非常简单，只包含一个频率成分；

方波信号的幅度谱则复杂得多，包含多个频率成分，并且随着频率的增加，幅度逐渐减小。

差异：正弦波幅度谱的信号集中，而方波则较分散。

```
clear;
clc;
```

五、(20 分)输入信号 $x(t) = \text{sinc}\left(\frac{t-20}{2}\right), 0 \leq t \leq 40$, 经过以下处理: ↵

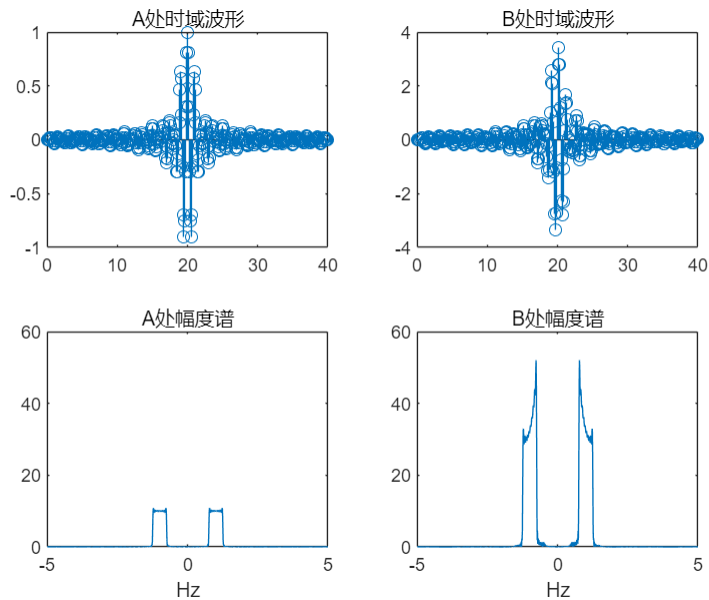


其中 $s(t) = \cos(2\pi t)$, $\delta_T(t) = \sum_{-\infty}^{\infty} \delta(t - nT), T = 0.1$, $H(z)$ 的传递函数形式为 $H(z) = \frac{1}{1+0.7z^{-1}}$ ↵

- 1) 在一个 figure 中画 4 个子图, 分别为 A、B 处的时域波形和幅度谱, 幅度谱横坐标为频率(Hz), 同时利用 axis() 将幅度谱的纵坐标范围进行统一; ↵
- 2) 讨论 $\delta_T(t)$ 信号的作用; ↵
- 3) 绘制 $H(z)$ 系统的幅度谱, 说明该系统的性质(低通? 带通? 高通?), 由此讨论 A、B 处幅度谱的差异和关联性。↵

```
%%%%%%%%%(1)%%%%%%%%%
fs=10;
n=0:1/fs:40;
N = 1024;
w = -fs/2 + fs/N:fs/N:fs/2;
%%%%输入信号%%%%
x=sinc((n-20)/2+eps);
s=cos(2*pi*n);
a=s.*x;
A=fftshift(fft(a,N));
%%%%输出信号%%%%
num=[1];
den=[1 0.7];
sys=tf(num,den);%给定系统
h = impz(num, den, n);% 使用 impz 函数计算系统的脉冲响应
b = conv(a, h);% 使用 conv 函数计算输入信号与脉冲响应的卷积, 得到输出信号
bb = b(1:401);%截取规定时间范围内的信号
B=fftshift(fft(b,N));
%%%%画图%%%%
figure();
subplot(2,2,1);stem(n,a);title('A 处时域波形');
subplot(2,2,2);stem(n,bb);title('B 处时域波形');
subplot(2,2,3);plot(w,abs(A));title('A 处幅度谱');xlabel('Hz');ylim([0,60]);
```

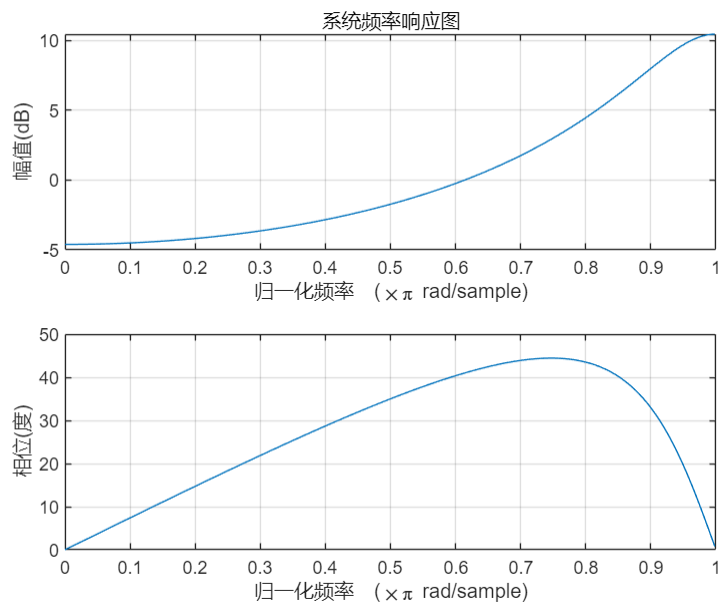
```
subplot(2,2,4);plot(w,abs(B));title('B 处幅度谱');xlabel('Hz');ylim([0,60]);
```



```
%%%%%%%%%(2)%%%%%%%%%
```

说明：该信号将连续的时间信号，以采样间隔 $T=0.1$ ，采样为了离散时间信号，从而能通过之后的离散系统。

```
%%%%%%%%%(3)%%%%%%%%%
figure();
freqz(num, den);
title("系统频率响应图");
```



说明：该系统是高通系统。

差异：**A** 的幅度谱峰值比 **B** 的要小，且 **A** 的幅度谱波峰是带状，而 **A** 的幅度谱波峰则是曲线型。

关联性：两者的幅度谱波峰中心频率接近。且都只有两个波峰